

(V - 9) FRPシート・コンクリート間のモードI型破壊靭性値K_{IC}に関する実験的研究

茨城大学大学院 学生員 三井雅一
茨城大学工学部 正会員 福澤公夫
茨城大学工学部 学生員 須田康之

1. はじめに

FRPシートとコンクリートの界面は極めて脆的な破壊を示し、その剥離挙動を脆性的観点から正しく算定できる値を用いた合理的な設計法の確立が重要と考えられる。これまで、筆者らは破壊靭性値に着目して、界面に純せん断力を作用させるダブルせん断試験法を用いモードII型の破壊靭性値G_{IC}を算出してきた¹⁾。図-1に示されるようにFRPシートとコンクリートの界面の付着性状には、モードI型の剥離性状も考えられる²⁾。そこで、本研究ではコンパクトテンション試験法（以下、CT試験という）によりモードI型破壊靭性値K_{IC}を算出することを目的としている。また、筆者らは表面処理方法が付着性状に大きく影響を与えることを報告している³⁾。このことを踏まえて表面処理方法が破壊靭性値K_{IC}に及ぼす影響についても検討する。

2. 試験方法

図-2に示すように供試体にはASTM E399-90 (K_{IC}試験法)を準用したCT試験片とした。上片にCFRPシート5層を接着した後、下片の接着面に所定の表面処理を行い両片を一体とした。なお、上片のCFRPシート接着面はディスクグラインダー処理を施した。切欠きは、図に示すように開口部先端から106mmまでは専用型枠を用いて成形を行い、その切欠き先端部には約20°の角度を与えた。また、切欠き先端から先には理想的なグリフィスのき裂先端を再現するため厚さ0.05mmの剥離フィルムを両片の接着時に挟み込んだ。図-2に示すようにフィルム長さaは80mmとなる。各供試体により接着時の若干のズレ等によりき裂長さaが変化することが考えられるため、破壊靭性値K_{IC}の算定に使用するき裂長さaは試験後の破断面から実測した値を使用した。

接着面の表面処理方法としては、ディスクグラインダー処理とチッピング処理について行った。なお、両処理方法により形成されるコンクリート表面状態は大きく異なり、さらに純せん断力（モードII型）を受ける場合の付着強度が本研究と同じコンクリートの場合で1.5倍程度チッピング

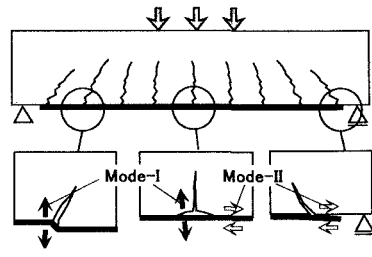


図-1 FRPシートの剥離様式

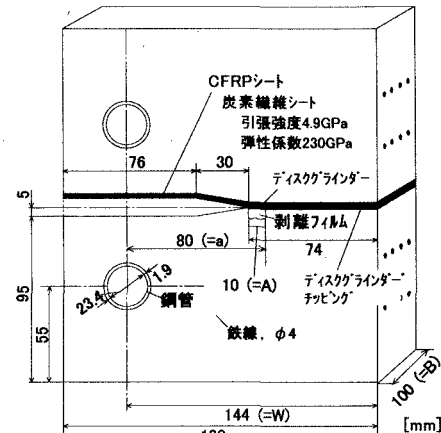


図-2 供試体寸法

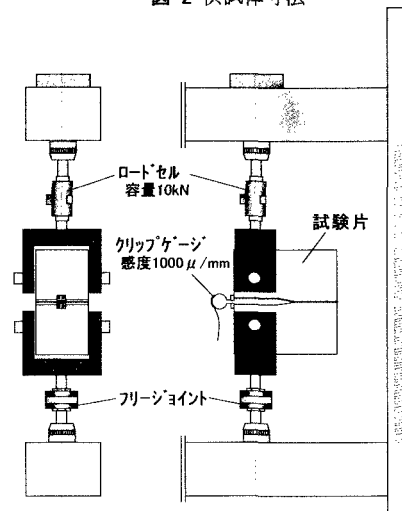


図-3 載荷方法

キーワード：破壊靭性値、FRPシート、コンパクトテンション試験、表面処理方法

連絡先：〒316-8511 日立市中成沢町4-12-1 茨城大学都市システム工学科、TEL0294-38-5162、FAX 0294-38-5268

グ処理を行うことで増加することを確認している³⁾.

供試体は各表面処理ごと3体を作製した.

図-3に載荷方法を示す. 載荷は、100kNの変位制御試験機によって変位速度を0.05mm/minと設定し上下に引張力を作用させた. 図に示すように、試験片の軸ズレを防止するために、試験片の下部にフリージョイントを配置した. ロードセルにより引張荷重Pを、クリップゲージにより切欠き肩部の開口変位量CMODを測定した. 最大荷重以降の軟化域を精度良く測定するため、これらの値を毎分300回の間隔で測定を行った.

3. 試験結果および考察

図-4に得られたP-CMOD曲線の例を示す. また、式-1より破壊靱性値K_{IC}を算出した. ASTM E399-90に従って曲線の初期段階における線形域の勾配より5%低い勾配の直線とP-CMOD曲線との交点を求める全試験において最大引張荷重P_{max}以降の荷重軟化域にその交点が位置することから脆性破壊と判定され、最大引張荷重P_{max}は破壊靱性値K_{IC}を求める式-1の破壊発生荷重P_Qと同値とされる.

$$K_{IC} = \frac{P_Q}{B W^{1/2}} f(a/W) \quad , \quad f(a/W) = \frac{\{2+(a/W)\} \{0.886+4.64(a/W)-13.32(a/W)^2+14.72(a/W)^3-5.6(a/W)^4\}}{\{1-(a/W)\}^{3/2}} \quad (1)$$

ここに、P_Q: 破壊発生荷重(N), B, W: 供試体厚さ、幅(mm), a: き裂長さ(mm)

表-1に算出した破壊靱性値K_{IC}を示す. 図-4および表-1に示すように表面処理方法によりP-CMOD曲線および破壊靱性値K_{IC}は大きく影響を受けることが確認される. これはチッピング処理を行うことで、コンクリート表面に大きな凹凸が生じ、その凹凸がき裂進展の抵抗力を増加させ、FRPシートとコンクリートとの界面の破壊靱性値K_{IC}を向上させたと考えられる. 図-5には、レーザ変位計を用いた表面状態計測装置により破断面を計測した結果を示す. ディスクグラインダー処理を行った供試体の破断面は、浅いコンクリート表層部にてき裂が進展する、または図に示すようにプライマー層またはエポキシ層を進展する. それに対し、チッピング処理を行った供試体ではコンクリートの深い位置までき裂が進み、破断面の観察を行うと骨材とペーストの界面をき裂が進展したことが確認された. このように破断面の形状からも前述の破壊靱性値K_{IC}の向上に表面処理方法が大きく影響することがいえよう. 今後、CT試験片のコンクリート強度および温度等の要因について試験を行い破壊靱性値K_{IC}の定量化を行うとともに、P-CMOD曲線をもとに多直線近似による逆解析法を用いた引張軟化曲線の推定を行っていく予定である.

参考文献

- 1) Fukuzawa,K., Numao,T., Wu,Z., Yoshizawa,H. and Mitsui,M: Critical Strain Energy Release Rate of Interface Debonding Between Carbon Fiber Sheet and Mortar, Proceedings of the FRPRCS-3, Vol.1, pp.295-302, 1997.
- 2) 堀井秀之, 福澤公夫, 関田徹志: 高性能材料の開発と破壊力学, コンクリート工学, Vol.37, No.9, pp.67-73, 1999.
- 3) 三井雅一, 福澤公夫, 沼尾達弥, 布田郁雄: CFRPシート・コンクリート間の付着強度と各種表面粗さ指標との関係, 材料, (採択済み).

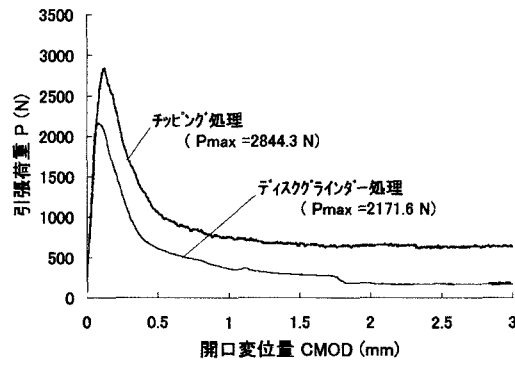


図-4 P-CMOD曲線の例

表-1 破壊靱性値K_{IC}の算出結果

表面処理方法	K _{IC} [MPa·√m]
ディスクグラインダー処理	0.662
チッピング処理	0.854

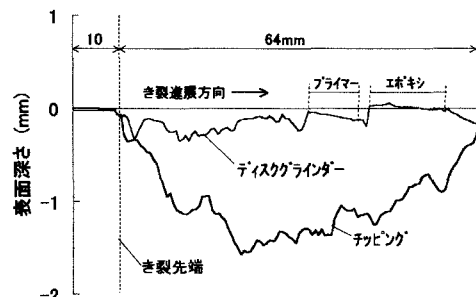


図-5 破断面形状 (測定ピッチ0.3mm)